

## کلونینگ و بیان پروتئین فاکتور رشد جفتی-۱ انسانی (hPLGF-1) در سیستم بیانی *E. coli* Rosetta

نرگس اربابی<sup>۱</sup>، مهدی بهدانی<sup>۲</sup>، مجید گل کار<sup>۳</sup>، سید حمید آقایی بختیاری<sup>۴</sup>، حسین خان احمد شهرضا<sup>۵</sup>،  
رضا مهدیان<sup>۶</sup>

<sup>۱</sup> کارشناس ارشد ژنتیک، دانشگاه آزاد اسلامی، واحد علوم و تحقیقات تهران

<sup>۲</sup> دانشجوی دکتری بیوتکنولوژی، بخش پزشکی مولکولی، مرکز تحقیقات بیوتکنولوژی، انستیتو پاستور ایران

<sup>۳</sup> استادیار، بخش انگل شناسی، انستیتو پاستور ایران

<sup>۴</sup> دانشجوی دکتری بیوتکنولوژی، مرکز تحقیقات بیوتکنولوژی، انستیتو پاستور ایران

<sup>۵</sup> استادیار، بخش BCG، انستیتو پاستور ایران

<sup>۶</sup> استادیار، بخش پزشکی مولکولی، مرکز تحقیقات بیوتکنولوژی، انستیتو پاستور ایران

### چکیده

**سابقه و هدف:** آنژیوژنیزیس یا شکل‌گیری عروق خونی جدید در شرایط فیزیولوژیک و پاتولوژیک مهم‌ترین عامل رشد و تکثیر سلول‌ها است. پروتئین PLGF یا فاکتور رشد جفتی یکی از مهم‌ترین پروتئین‌ها در تحریک آنژیوژنیزیس است. در این پژوهش، ژن *PLGF-1* انسانی از بافت جفت جدا شده و پروتئین مورد نظر در سیستم باکتریایی بیان شد.

**روش بررسی:** در این مطالعه تجربی، ناحیه کد کننده ژن *PLGF-1* از بافت انسان توسط پرایمرهای اختصاصی تکثیر شد. قطعه ژنی مورد نظر در پلاسمیدهای *pET28a* و *pET32a* کلون شد. پلاسمیدهای نوترکیب *pET28a-PLGF-1* و *pET32a-PLGF-1* به باکتری *E. coli* Rosetta منتقل شدند و بیان پروتئین نوترکیب توسط IPTG القاء گردید. بیان پروتئین نوترکیب و محلولیت آن با SDS-PAGE بررسی و با روش وسترن بلاتینگ هویت آن تأیید شد.

**یافته‌ها:** مراحل طراحی و ساخت سازه ژنی *pET28a-PLGF-1* و *pET32a-PLGF-1* با موفقیت انجام و توالی ژن *PLGF-1* تأیید گردید. باکتری‌های القاء شده با IPTG پروتئین *PLGF-1* را بیان کردند و توسط وسترن بلاتینگ به تأیید رسید. همچنین پروتئین نوترکیب-*PLGF-1* تقریباً به صورت نامحلول بیان شد.

**نتیجه‌گیری:** پروتئین *PLGF-1* به خوبی در سیستم بیانی *RosettaE. coli* بیان می‌شود و می‌توان از این پروتئین نوترکیب در تست‌های مختلف استفاده نمود.

**واژگان کلیدی:** آنژیوژنیزیس، کلونینگ و بیان، فاکتور رشد جفتی-۱ انسان.

### مقدمه

عروق می‌باشد و از نظر ساختمانی با فاکتورهای رشد مشتق شده از پلاکت‌ها PDGF در ارتباط است. VEGF به عنوان فاکتور نفوذپذیر رگی نیز شناخته می‌شود، زیرا این فاکتور پتانسیل مؤثری در نفوذپذیر کردن رگ‌های خونی دارد. تا به حال ۵ عضو خانواده VEGF شامل VEGF-A، VEGF-B، VEGF-C،

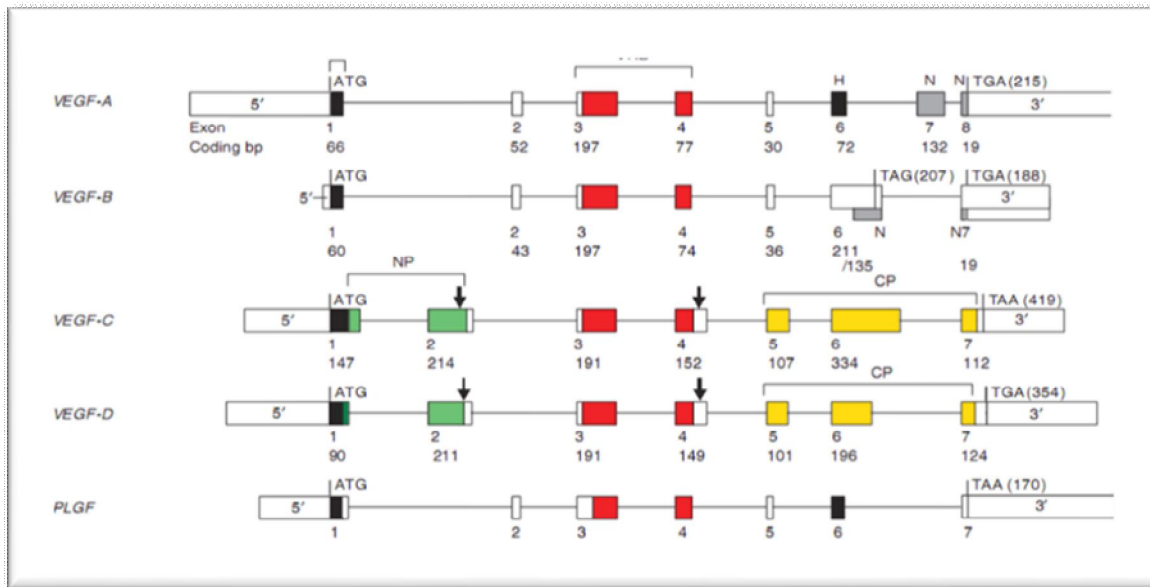
خانواده فاکتورهای رشد سلول‌های آندوتلیال عروق خونی (VEGF) شامل میتوژن‌های اختصاصی برای سلول‌های آندوتلیال

آدرس نویسنده مسئول: تهران، انستیتو پاستور ایران، مرکز تحقیقات بیوتکنولوژی، بخش پزشکی

مولکولی، دکتر رضا مهدیان (email: rezamahdian@yahoo.com)

تاریخ دریافت مقاله: ۹۰/۲/۲۰

تاریخ پذیرش مقاله: ۹۰/۷/۲۵



شکل ۱- ناحیه غیر قابل ترجمه (UTR): 5 ناحیه غیر قابل ترجمه (UTR): CP ناحیه کد کننده انتهای کربوکسیلی دمین پپتیدی: H: کد کننده دمین متصل شونده به هپارین: NP ناحیه کد کننده انتهای آمینی دمین پپتیدی: SP سیگنال پپتید: VHD کد کننده دمین هومولوژی VEGF/PDGF: N: کد کننده دمین متصل شونده به هپارین/ NP1

این پروتئین به نام PLGF, PGF و PGFL نیز خوانده می شود (۶). فاکتور رشد جفتی PLGF نوعی پروتئین N-گلیکوزیله همودایمر ۵۰-۴۶ کیلو دالتونی است و مونومرهای آن با باندهای دی سولفیدی کنار یکدیگر قرار می گیرند (۴). ژن کد کننده آن توسط فرآیند Alternative splicing ۴ ایزوفرم PLGF را ایجاد می کند. ایزوفرم های آن شامل PLGF-1, PLGF-2, PLGF-3 و PLGF-4 هستند که به ترتیب از ۱۴۹، ۱۷۰، ۲۲۱ و ۲۴۲ اسید آمینه تشکیل شده اند (۹،۴). تمامی این ایزوفرم ها دارای یک توالی ۱۸ اسید آمینه ای سیگنال پپتید هستند (۱۱،۱۰). PLGF با رسپتور VEGFR-1 (flt-1) باند می شود (۱۰،۳).

امروزه خرید فاکتورهای رشد که به صورت نوترکیب بیان شده اند به عنوان یکی از بخش های هزینه بر تحقیقات در حوزه علوم سلولی می باشد، به طوری که پژوهش ها در زمینه تمایز سلول های بنیادی و مهندسی بافت کاملاً وابسته به استفاده از این فاکتورهای رشد است. فاکتور رشد جفتی انسان نیز به عنوان یک فاکتور رشد در این زمینه دارای کاربرد می باشد. هدف از این پژوهش، کلونینگ و بیان فاکتور رشد جفتی ۱ انسانی در سیستم بیانی *E. coli* است. بنابر این ضرورت، در این پژوهش به دنبال بیان فاکتور رشد جفتی ۱ انسان در سیستم بیانی باکتریایی جهت استفاده به عنوان یک فاکتور رشد در پژوهش های مذکور می باشیم. همچنین با توجه به اهمیت این پروتئین در رشد و توسعه سلول های توموری با در دست داشتن این پروتئین می توان تحقیقات بیشتری را در

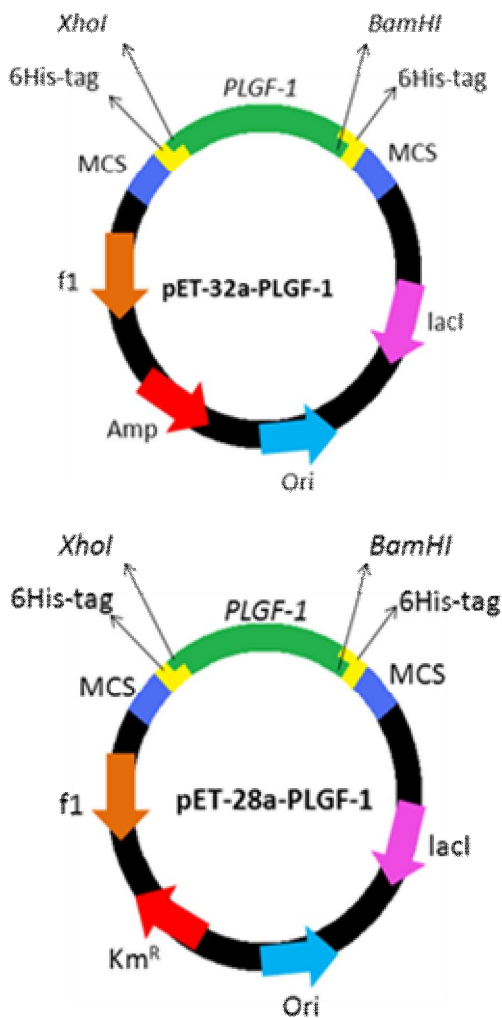
VEGF-D و PLGF مشخص شده است که از نظر وزن ملکولی و خصوصیات بیولوژیکی متفاوت هستند (شکل ۱) (۱-۳).

PLGF در مژه های ترفوبلاستی جفت و سلول های اندوتلیال جنینی مانند سلول های HUVEC ( Human Umbilical Vein Endothelial Cell ) بیان می شود و طی دوران جنینی باعث تشکیل عروق خونی در بافت جفت می گردد (۴). PLGF در سایر بافت ها از جمله قلب، شش، عضله، تیروئید و بافت های چربی نیز شناسایی شده است. بیان PLGF در سلول های آندوتلیال، ترفوبلاست ها، منوسیت ها و سلول های اریتروئید نیز گزارش شده است. این فاکتور در تومورها به عنوان یکی از فاکتورهای رگ زایی قوی مطرح می باشد (۱). PLGF در رگ زایی بافت های طبیعی و همچنین در تومورها نقش دارد که فقدان آن باعث نقص در رگ زایی و رشد بافت ها و تومور می شود. فاکتور رشد جفتی در بیماری های التهابی، بهبود زخم ها و سرطان شناسایی شده است. PLGF در بیماری کاردیوواسکولار، فراخوانی مونوسیت ها در بیماری های عفونی مزمن و افزایش ضخامت درونی آترواسکلروزیس نقش دارد (۵). بیان بالای PLGF-2 باعث افزایش رشد تومور و رگ های حیاتی می شود و فقدان آن باعث آپوپتوزیس در سلول های رگی و ماکروفاژها می شود. تغییر در غلظت رایج این فاکتور باعث توسعه غیرطبیعی جفت می شود که در دوران بارداری در پره کلامپسی مشاهده می شود. در افراد مبتلا به پره کلامپسی، فشار خون مادری افزایش می یابد و در این افراد سطح سرمی PLGF مادری کاهش می یابد (۶-۸).

زمینه رشد تومورها و مهار رگ‌زایی که هدفی بزرگ در درمان سرطان است، انجام داد.

## مواد و روشها

در این مطالعه تجربی، نمونه بافت جفت انسان بلافاصله پس از زایمان از یک فرد سالم گرفته شد. جهت حفظ و پایدار کردن محتوای RNA، ۱ میلی‌لیتر محلول RNA later (Qiagen) اضافه و بافت به آزمایشگاه منتقل شد. RNA تام با استفاده از کیت RNeasy (Qiagen) از بافت جفت استخراج شد. کمیت و کیفیت RNA استخراج شده با انجام ژل الکتروفورز و سنجش اسپکتروفوتومتری (Nano photometer IMpLEN) بررسی شد. جهت ساخت cDNA از آنزیم ترانس کریپتاز معکوس و کیت Quantitect استفاده شد و بررسی صحت ساخت cDNA توسط PCR با پرایمرهای GAPDH انجام شد. تکثیر ژن PLGF-1 با یک جفت پرایمر اختصاصی که بر اساس توالی ژن PLGF موجود در پایگاه داده‌های NCBI (NC 000014.8) انجام شد، به طوری که جایگاه برش دو آنزیم محدود الاثر Bam HI و XhoI به ترتیب به انتهای 5' پرایمرهای Forward و Reverse افزوده شد (جدول ۱).



شکل ۲- نقشه پلاسمیدهای نوترکیب pET-28a-PLGF-1 و pET-32a-PLGF-1

برای تأیید انتقال پلاسمیدهای نوترکیب، ابتدا با استفاده از کلنی‌های نوترکیب، Colony-PCR با همان برنامه PCR انجام شد. سپس پلاسمیدهای نوترکیب استخراج شده از کلنی‌های تأیید شده مورد برش با آنزیم های BamHI و XhoI قرار داده شدند و سپس محصول برش آنزیمی الکتروفورز گردید و در نهایت پلاسمیدهای pET-28a-PLGF-1 و pET-32a-PLGF-1 تلخیص شده و توسط پرایمرهای promoter T<sub>7</sub> و T<sub>7</sub> terminator تعیین توالی شد. توالی مکمل این پرایمرها در دو سوی جایگاه چند گانه کلونینگ (MCS) پلاسمید قرار دارند. جهت بیان پلاسمید نوترکیب سلول‌های مستعد *E. coli* از سویه Rosetta با پلاسمیدهای pET-28a-PLGF-1 و pET-32a-PLGF-1 ترانسفورم شدند. جهت بهینه‌سازی بیان پروتئین PLGF-1، در غلظت‌های مختلف از IPTG و شرایط مختلف القاء بررسی گردید تا بهترین شرایط برای به دست آوردن بیشترین میزان پروتئین نوترکیب تأیید شود. شرایط

جدول ۱- توالی پرایمر های PGFH (Xho) و PGFH(Bam)

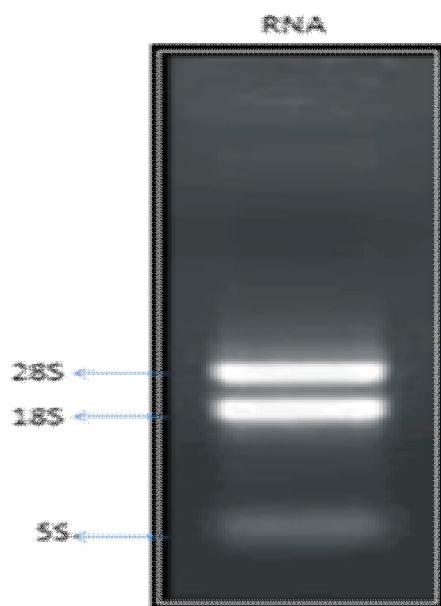
| Primer Name | Sequence (5'>3')                   | Length |
|-------------|------------------------------------|--------|
| PGFH(Bam)   | CGCggatccCTGCTGCTGTGCCCC<br>CCCCAG | 30bp   |
| PGFH (Xho)  | GCGctcgagCCTCCGGGGAACAG<br>CATCGCC | 30bp   |

برنامه‌ریزی برای چرخه‌های حرارتی PCR طبق الگو، ۹۵ درجه سانتی‌گراد به مدت ۱۰ دقیقه، ۹۵ درجه سانتی‌گراد به مدت ۴۰ ثانیه، ۶۰ درجه سانتی‌گراد به مدت ۴۰ ثانیه و ۷۲ درجه سانتی‌گراد به مدت ۴۰ ثانیه برای ۴۰ سیکل تکرار گردید.

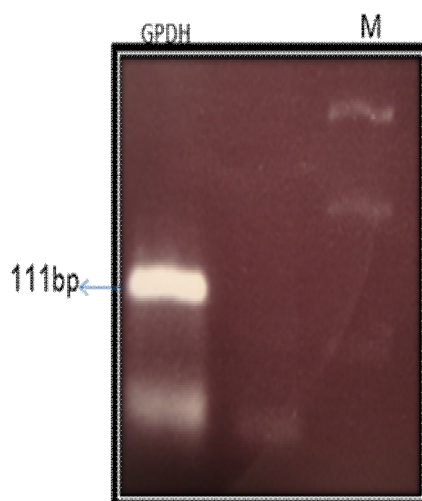
پس از تأیید تکثیر قطعه مورد نظر با الکتروفورز در ژل آگارز ۲٪، استخراج محصول PCR از ژل با QIAquick (Qiagen) Gel Extraction Kit انجام شد.

پلاسمیدهای pET-28a و pET-32a و همچنین محصول PCR با آنزیم‌های BamHI و XhoI برش داده شد و سپس عمل لیگاسیون توسط آنزیم T<sub>4</sub> DNA Ligase (Fermentas) در دمای محیط به مدت ۱۲ ساعت انجام شد (شکل ۲). پس از عمل لیگاسیون، باکتری‌های *E. coli* TOP 10F با پلاسمیدهای نوترکیب ترانسفورم شدند.

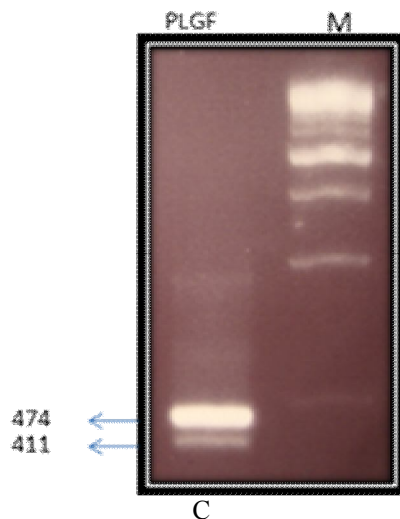
PLGF-1 ترانسفورم شدند. وجود ژن PLGF-1 در کلون‌های انتخاب شده با روش clony-PCR (شکل ۳-D)، برش آنزیمی (شکل ۳-E) و تعیین توالی تأیید شد.



A



B



C

بهینه شامل تکثیر باکتری‌ها تا رسیدن به OD ۶۰۰ معادل ۰/۶ و القاء بیان با IPTG ۱ میلی‌مولار به مدت ۵ ساعت انتخاب شد. سپس سلول‌ها با سانتیفریوژ در ۹۰۰۰ دور در دقیقه به مدت یک دقیقه رسوب داده شده و از آنها عصاره لیز باکتریایی تهیه شد. بررسی بیان پروتئین نوترکیب PLGF-1 با الکتروفورز بر روی ژل ۱۲٪ SDS-PAGE انجام شد.

برای تأیید هویت پروتئین نوترکیب PLGF-1 با آنالیز وسترن بلائینگ، نمونه لیز باکتریایی پس از الکتروفورز روی ژل ۱۲٪ SDS-PAGE تفکیک شده، آن گاه با روش وسترن بلائینگ به غشاء نیتروسولولز منتقل شد. پس از انتقال، غشاء با رنگ Ponceau S رنگ‌آمیزی و از انتقال پروتئین مورد نظر اطمینان حاصل شد. سپس غشاء به ترتیب با آنتی‌بادی‌های اولیه (Anti-His Tag) و ثانویه (ضد موشی کونژوگه با HRP) انکوبه شد. بعد از انکوبه کردن غشاء با آنتی‌بادی ثانویه، جهت مشاهده باند پروتئین از سوبسترای (DAB) استفاده شد.

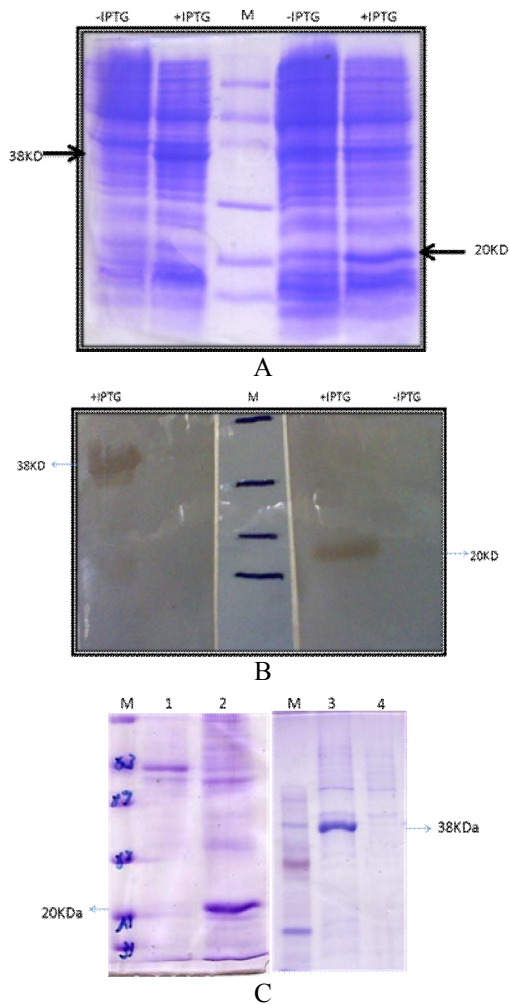
جهت بررسی محلولیت پروتئین نوترکیب، بیان پروتئین PLGF-1 در باکتری *E. coli* Rosetta دارای پلاسמיד نوترکیب به کمک IPTG (1Mm) القاء شد و بعد از ۵ ساعت انکوباسیون رسوب آن جمع‌آوری شد. به رسوب حاصل PBS استریل اضافه کرده و به خوبی مخلوط شد. سپس باکتری‌ها با روش سونیکاسیون (آملیفیکاسیون ۱۰۰ و سیکل ۳/۴ برای ۱۵ سیکل ۲۰ ثانیه‌ای) لیز شدند. سپس سوسپانسیون حاصل به مدت ۵ دقیقه با دور ۹۰۰۰ دور در دقیقه سانتیفریوژ شد و مایع رویی و رسوب حاصل با ژل ۱۲٪ SDS-PAGE بررسی شدند.

### یافته‌ها

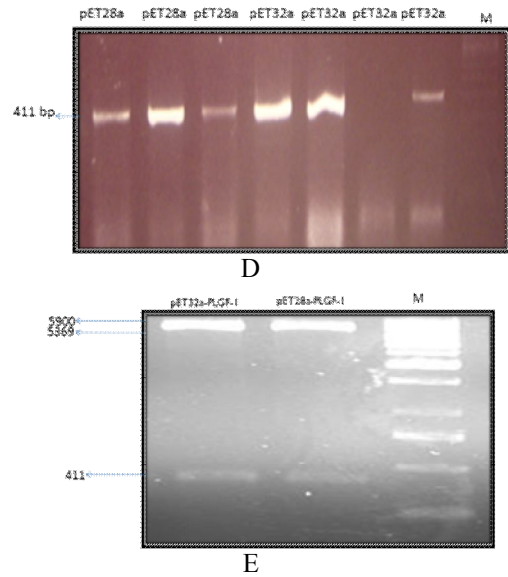
RNA تام استخراج شده از بافت جفت دارای غلظت ۵۰ نانوگرم/میکرولیتر نسبت جذب نوری برابر ۲ در ۲۶۰/۲۸۰ نانومتر بود. پس از الکتروفورز RNA بر روی ژل آگارز باندهای مربوط به RNA ریبوزومی 28S و 18S مشاهده شد (شکل ۳-A). کیفیت cDNA ساخته شده، با تکثیر ژن GAPDH تأیید شد (شکل ۳-B). با توجه به پرایمرهای طراحی شده، دو ایزوفرم PLGF-1 و PLGF-2 امکان تکثیر با PCR را داشتند که پس از جداسازی دو ایزوفرم با الکتروفورز، قطعه ژن PLGF-1 (۴۱۱ bp) با استفاده از کیت QIAquick Qiagen از ژل استخراج شد (شکل ۳-C).

در مورد تأیید کلنی‌های نوترکیب pET-28a-PLGF-1 و pET-32a-PLGF-1، باکتری‌های *E. coli* Top 10 توسط پلاسמידهای نوترکیب pET-28a-PLGF-1 و pET-32a-

در بررسی محلولیت پروتئین PLGF-1 پس از لیز سلولی و سونیکاسیون، پروتئین‌های بیان شده با استفاده از هر دو وکتور به صورت انکلوژن بادی (نامحلول) به دست آمد (شکل ۴-۳).



**شکل ۴-۳** -A بیان پروتئین PLGF-1 در شرایط متعارف، ستون ۱ پلاسمید pET32a-PLGF-1 کشت شده در باکتری Rosetta در ساعت صفر قبل از القاء می باشد، ستون ۲ پلاسمید pET32a-PLGF-1 کشت شده در باکتری Rosetta در ساعت ۵ بعد از القاء می باشد که باند ۲۰ کیلو دالتونی مشاهده می شود، M شاخص وزنی پروتئین، ستون ۳ پلاسمید pET28a-PLGF-1 کشت شده در باکتری Rosetta در ساعت صفر قبل از القاء می باشد، ستون ۴ پلاسمید pET28a-PLGF-1 کشت شده در باکتری Rosetta در ساعت ۵ بعد از القاء می باشد که باند ۳۸ کیلو دالتونی مشاهده می شود؛ -B بررسی هویت PLGF-1 با روش وسترن بلاتینگ، حاصل این واکنش یک باند ۲۰ کیلو دالتونی در pET28a و ۳۸ کیلو دالتونی در pET32a مشاهده نشد؛ -C بررسی محلولیت پروتئین PLGF-1. ۱۰ سوپ رویی پس از سونیکاسیون pET28a-PLGF-1، رسوب پس از سونیکاسیون pET28a-PLGF-1، ۳۰ رسوب پس از سونیکاسیون pET32a-PLGF-1، ۴ سوپ رویی پس از سونیکاسیون pET32a-PLGF-1، شاخص وزنی پروتئین.



**شکل ۳-۳** -A عکس ژل الکتروفورز RNA تام استخراج شده از بافت جفت؛ -B عکس ژل الکتروفورز محصول PCR با پرایمرهای GAPDH، باند ۱۱۱ bp مربوط به سنتز قطعه مورد نظر است؛ -C عکس ژل الکتروفورز محصول PCR، دو ایزوفرم (411 bp) PLGF-1 و (474 bp) PLGF-2 مورد نظر تکثیر شده است؛ -D عکس ژل Colony-PCR، باند ۴۱۱ جفت بازی وجود ژن PLGF-1 را در پلاسمید های نوترکیب pET28a-PLGF-1 در ستون ۱، ۲ و ۳ و در ستون های ۴، ۵ و ۷ پلاسمید های نوترکیب pET32a-PLGF-1، در ستون ۶ کلنی فاقد پلاسمید های نوترکیب pET32a-PLGF-1 نشان می دهد؛ -E برش آنزیمی پلاسمید نوترکیب، با برش آنزیمی پس کلون کردن خروج قطعه ژن PLGF-1 از پلاسمید های نوترکیب pET28a-PLGF-1 و pET32a-PLGF-1 تأییدی بر کلون شدن قطعه ژن PLGF-1 در پلاسمیدها می باشد. ستون ۱، pET32a-PLGF-1 و ستون ۲، pET28a-PLGF-1 می باشد.

باکتری های Rosetta ترانسفورم شده با پلاسمید های نوترکیب pET28a-PLGF-1 و pET32a-PLGF-1 به ترتیب پروتئین های نوترکیبی با وزن حدود ۲۰ کیلودالتون و ۳۸ کیلودالتون را بیان کردند (شکل ۴-۳A). وزن این پروتئین ها مطابق با وزن مورد انتظار برای هر دو سازه بود. سازه نوترکیب pET32a-PLGF-1 حاوی توالی تیروکسین بود که باعث افزایش محلولیت پروتئین بیان شده و در نتیجه منجر به تولید پروتئین ۳۸ کیلو دالتونی گردید. پس از بیان پروتئین نوترکیب PLGF-1، هویت آن توسط آنالیز وسترن بلاتینگ با آنتی بادی Anti-his tag بررسی شد. پس از رنگ آمیزی DAB، باندهای پروتئینی ۲۰ کیلودالتونی و ۳۸ کیلودالتونی متناظر با باندهای مشاهده شده در آنالیز SDS-PAGE بر روی غشاء ظاهر شدند (شکل ۴-۳B).

## بحث

با توجه به اهمیت فاکتور PLGF در رگ‌زایی پاتولوژیک در سرطان‌ها و همچنین کاربرد گسترده آنتی‌بادی‌های درمانی در کنترل پیشرفت تومور، هدف اصلی این مطالعه بهینه‌سازی بیان این پروتئین در *E. coli* و به کارگیری آن در آینده به عنوان فاکتور رشد سلول‌های اندوتلیال و آنتی‌ژن ایجاد کننده پاسخ ایمنی در حیوانات آزمایشگاهی بود. بر اساس مطالعات قبلی که حاکی از بیان این پروتئین در بافت جفت بود، استخراج RNA و ساخت cDNA اختصاصی ژن PLGF بر روی نمونه گرفته شده از جفت انسان با موفقیت انجام شد. اگر چه مطالعات دیگر، بیان این پروتئین در سلول‌های اندوتلیال HUVEC را نشان می‌دهد و می‌توان از این سلول‌ها جهت استخراج RNA استفاده کرد.

در این مطالعه، به منظور انتقال و بیان ژن PLGF-1 از دو پلاسمید pET28a و pET32a به عنوان وکتورهای بیانی استفاده شد. این پلاسمیدها جهت بیان بهتر پروتئین نو ترکیب مورد استفاده قرار گرفتند، پروتئین PLGF-1 بیان شده، در هر دو وکتور pET28a و pET32a کاملاً به شکل نامحلول بود. Maglione و همکارانش نیز در سال ۲۰۰۰ این پروتئین را در باکتری *E. coli* به شکل کاملاً نامحلول گزارش کردند (۹). این موضوع می‌تواند به دلیل هیدروفوبیسیته بالا یا تشکیل ناقص باندهای دی‌سولفیدی در ساختار پروتئین باشد. این احتمال که نامحلول بودن پروتئین ممکن است مربوط به هیدروفوبیسیته آن باشد، با نرم افزار CLC GENOMIC و با توجه به توالی ژن و توالی اسید آمینه پروتئین بررسی شد. اما میزان هیدروفوبیسیته پروتئین توجیه کننده عدم محلولیت آن نبود. مطالعات متعددی گزارش کرده‌اند که محلولیت پروتئین‌های حاوی چندین باند دی‌سولفیدی را می‌توان از طریق فیوژن با تیوردوکسین افزایش داد (۱۲، ۱۳). در این مطالعه از وکتور pET32a که توالی تیوردوکسین را به پروتئین اضافه می‌کند استفاده شد، ولی بر اساس نتایج حاصل پروتئین PLGF-1 به صورت نامحلول به دست آمد. پروتئین PLGF-1 نامحلول را می‌توان به شکل denaturing تخلیص و سپس با کمک گلوکاتایون اکسید و احیا تشکیل باندهای دی‌سولفیدی و تاخوردگی مجدد پروتئین را در شرایط آزمایشگاهی القاء نمود.

همچنین در این مطالعه از باکتری *E. Coli Rosetta* به عنوان میزبان بهینه سازی شده توسط روش‌های مهندسی ژنتیک استفاده شد. یوکاریوت‌های مختلف از کدون‌های خاصی برای یک اسید آمینه مشخص بیشتر استفاده می‌کنند. به این پدیده، تمایل به یک کدون خاص گفته می‌شود. بعضی از این کدون‌ها در *E. Coli* کمتر استفاده می‌شود. لذا بیان پروتئین‌هایی که شامل تعداد زیادی از این کدون‌های نادر (Rare codon) باشند، در *E. coli* بسیار کم یا حتی غیرقابل مشاهده خواهد بود. برای حل این مشکل از سویه‌های باکتریایی حاوی پلاسمید کد کننده tRNA مربوط به این کدون‌ها استفاده می‌شود. سویه Rosetta حاوی پلاسمیدی است که tRNAهای مربوط به کدون‌های نادر موجود در یوکاریوت‌ها را کد می‌کند و می‌تواند میزبان مناسبی برای بیان پروتئین‌های نو ترکیب یوکاریوتی باشد (۱۴).

برای اطمینان از هویت پروتئین بیان شده، وسترن بلاتینگ انجام شد و در این بررسی با استفاده از آنتی His موشی باند پروتئینی ۲۰ کیلودالتونی در pET28a-PLGF-1 و ۳۸ کیلودالتونی در pET32a-PLGF-1 در باکتری *E. coli Rosetta* مشاهده شد. در واقع با توجه به دنباله هیستیدینی که پلاسمیدها به انتهای پروتئین اضافه می‌کنند انتظار می‌رود که پروتئین حاصل با آنتی His واکنش دهد. البته استفاده از آنتی‌بادی اختصاصی بر علیه PLGF می‌تواند تایید کننده نتایج فوق باشد.

در مطالعات آینده می‌توان این پروتئین نو ترکیب را به حیوانات آزمایشگاهی تزریق کرده و میزان آنتی‌ژنیسیته آن را بررسی کرده و همچنین به عنوان فاکتور رشد به سلول‌های اندوتلیال کشت داده شده اضافه و عملکرد آن را بررسی کرد. همچنین می‌توان جهت تولید آنتی‌بادی مونوکلونال از آن استفاده نمود.

## تشکر و قدردانی

از کلیه کسانی که ما را در مرکز تحقیقات بیوتکنولوژی انستیتو پاستور ایران در انجام این تحقیق یاری دادند، تشکر و قدردانی می‌شود.

## REFERENCES

1. Hoeben A, Landuyt B, Highley MS, Wildiers H, Van Oosterom AT, De Bruijn EA. Vascular endothelial growth factor and angiogenesis. *Pharmacol Rev* 2004; 56: 549-80.
2. Neufeld G, Cohen T, Gengrinovitch S, Poltorak Z. Vascular endothelial growth factor (VEGF) and its receptors. *FASEB J* 1999; 13: 9-22.

3. De Falco S, Gigante B, Persico MG. Structure and function of placental growth factor. *Trends Cardiovasc Med* 2002; 12: 241-46.
4. Athanassiades A, Lala PK. Role of placenta growth factor (PIGF) in human extravillous trophoblast proliferation, migration and invasiveness. *Placenta* 1998; 19: 465-73.
5. Khurana R, Moons L, Shafi S, Luttun A, Collen D, Martin JF, et al. Placental growth factor promotes atherosclerotic intimal thickening and macrophage accumulation. *Circulation* 2005; 111: 2828-36.
6. The biochemistry and role of placental growth factor (PIGF). Available from: [http://shop.perkinelmer.com/content/applicationnotes/app\\_biochemistryandroleofplgf.pdf](http://shop.perkinelmer.com/content/applicationnotes/app_biochemistryandroleofplgf.pdf)
7. Polliotti BM, Fry AG, Saller DN, Mooney RA, Cox C, Miller RK. Second-trimester maternal serum placental growth factor and vascular endothelial growth factor for predicting severe, early-onset preeclampsia. *Obstet Gynecol* 2003; 101: 1266-74.
8. Adini A, Kornaga T, Firoozbakht F, Benjamin LE. Placental growth factor is a survival factor for tumor endothelial cells and macrophages. *Cancer Res* 2002; 62: 2749-52.
9. Maglione D, Battisti M, Tucci M. Recombinant production of PIGF-1 and its activity in animal models. *Farmaco* 2000; 55: 165-67.
10. Holmes DI, Zachary I. The vascular endothelial growth factor (VEGF) family: angiogenic factors in health and disease. *Genome Biol* 2005; 6: 209.
11. Yang W, Ahn H, Hinrichs M, Torry RJ, Torry DS. Evidence of a novel isoform of placenta growth factor (PIGF-4) expressed in human trophoblast and endothelial cells. *J Reprod Immunol* 2003; 60: 53-60.
12. Kim S, Lee SB. Soluble expression of archaeal proteins in *Escherichia coli* by using fusion-partners". *Protein Expr Purif* 2008; 62: 116-19.
13. Fam HK. Subcloning *emoA* into pET32a(+), pET32a(+) $\Delta$ trxA/+fre and pET32a(+) $\Delta$ trxA to assess the relative effect of thioredoxin A and flavin oxidoreductase on *emoA* solubility. *J Expr Microbiol Immunol* 2009; 13: 114-18.
14. Tegel H, Tourle S, Ottosson J, Persson A. Increased levels of recombinant human proteins with the *Escherichia coli* strain Rosetta(DE3). *Protein Expr Purif* 2010; 69: 159-67.